

حذف پیریت از کنسانتره سنگ آهن با فلوتاسیون ستونی

*^۱ فردیس نخعی^۱، مهدی ایران نژاد^۱

۱- دانشکده مهندسی معدن و متالورژی، دانشگاه صنعتی امیرکبیر

(دریافت ۱۳۹۵/۰۸/۲۳، پذیرش ۱۷/۱۱/۱۳۹۵)

چکیده

پیریت که به طور معمول همراه کانی‌های اکسیدی آهن یافت می‌شود به دلیل ایجاد مشکل در صنایع فولادسازی به عنوان کانی باطله و مزاحم در نظر گرفته می‌شود. ذرات ریز پیریت در حضور کانی‌های آهن دار مانند مگنتیت و هماتیت، به طور کامل با جداکننده‌های مغناطیسی بازیابی نمی‌شوند. فلوتاسیون معکوس روشنی موثر برای کاهش سولفور از کنسانتره جداکننده‌های مغناطیسی است. امروزه ستون‌های فلوتاسیون به دلیل هزینه‌های سرمایه‌ای و عملیاتی پایین‌تر و توانایی تولید کنسانتره با عیار و بازیابی بالاتر در مقایسه با سلول‌های مکانیکی، به طور وسیع در صنایع فرآوری آهن با هدف کاهش ناخالصی‌ها مورد استقبال قرار گرفته‌اند. هدف از این تحقیق، کاهش میزان سولفور ناشی از پیریت کنسانتره جداکننده‌های مغناطیسی خط بازیابی هماتیت مجتمع سنگ آهن گل‌گهر از حدود ۰/۵ درصد به کمتر از ۰/۱ درصد با استفاده از فلوتاسیون ستونی است. به این منظور با انجام ۲۶ آزمایش در قالب طراحی آزمایش‌ها، تاثیر عوامل عملیاتی مهم مانند سرعت ظاهری گاز، ارتفاع کف، میزان کلکتور و کفساز، درصد جامد و pH پالپ برای دستیابی به هدف مورد بررسی قرار گرفت. نتایج نشان داد که فلوتاسیون معکوس ستونی روشنی مناسب برای سولفورزدایی کانه‌های آهن است به طوری که در شرایط بهینه، تولید محصولی با عیار سولفور ۰/۰۸ درصد با بازیابی آهن ۹۹/۵ درصد قابل دستیابی است. مقایسه عملکرد فلوتاسیون ستونی با مکانیکی در شرایط بهینه نشان می‌دهد که برای حذف سولفور، فلوتاسیون ستونی کارایی جدیش بالاتری (در حدود ۴ درصد) نسبت به فلوتاسیون مکانیکی دارد.

کلمات کلیدی

آهن، گل‌گهر، فلوتاسیون ستونی، پیریت، سولفورزدایی.

۱- مقدمه

از فرآیند فلوتاسیون را افزایش داده است. فلوتاسیون حدود ۵ سال به عنوان روشی موثر برای حذف ناخالصی‌ها در صنایع آهن استفاده شده است. بخش اعظم تحقیقات انجام شده در فلوتاسیون کانه‌های آهن، به حذف سیلیس از کنسانتره جداکننده‌های مغناطیسی مربوط می‌شود [۷-۲].

فلوتاسیون کانه‌های آهن به دو روش مستقیم و معکوس انجام می‌شود. در فلوتاسیون مستقیم، اکسیدهای آهن به وسیله کلکتورهای آنیونی مانند اسیدهای چرب شناور می‌شود. در فلوتاسیون معکوس کانه‌های باطله با استفاده از مواد شیمیایی مانند آمین یا گزنتات شناور شده و کانه با ارزش بازداشت می‌شود [۸].

کاربرد صنعتی سلول‌های ستونی از اوایل سال ۱۹۸۰ شروع شد و در حال حاضر به صورت یک واحد متداول در مراحل نهایی مدارهای کانه‌آرایی در آمده است. در واقع این ستون‌ها، دارای طیف گسترده‌ای از کاربرد در کانه‌های فلزی و غیرفلزی‌اند. این ستون‌ها به دلیل هزینه سرمایه‌ای و عملیاتی پایین‌تر و توانایی تولید کنسانتره با عیار و بازیابی بالاتر در مقایسه با سلول‌های مکانیکی، به طور وسیعی در صنعت فرآوری مورد استقبال قرار گرفته‌اند. برخی از تولیدکنندگان آهن جهان از ستون‌های فلوتاسیون به عنوان جایگزین مناسب ماشین‌های فلوتاسیون مکانیکی مرسوم برای کاهش سیلیس، فسفر و آلومینا در خوارک کارخانه گندله‌سازی استفاده کرده‌اند. بخش دیگری از آن‌ها پس از مشخص شدن مزایای قابل توجه متالورژیکی این ستون‌ها (در مقایسه با فلوتاسیون مکانیکی) در کارهای نیمه صنعتی و آزمایشگاهی، در حال بررسی این روش فرآوری در مقیاس صنعتی هستند. صنعت فرآوری آهن بزرگ، در استفاده از تکنولوژی فلوتاسیون ستونی برای کاهش محتوی سیلیس کنسانتره آهن، در جهان پیش قدم بوده است. اخیراً بیشتر از ۱۰۰ ستون فلوتاسیون در مدار فرآوری آهن بزرگ برای حذف سیلیس در مراحل پرعيارکنی اولیه، ثانویه و رمق‌گیر نصب شده است [۹]. سامارکو مینرال اولین شرکت بزرگی نصب شده است که به عنوان برنامه توسعه در سال ۱۹۹۰ از سلول ستونی برای افزایش ظرفیت مدار فلوتاسیون و بهبود بازیابی ذرات نرمه آهن بهره برد [۱۰]. همچنین در تحقیقات مشخص شده است که در حال حاضر بسیاری از شرکت‌های تولید کننده کنسانتره آهن در استرالیا، کانادا، آمریکا و هند اقدام به نصب سلول‌های ستونی در مدارهای فرآوری کرده‌اند. بخش‌های مختلف سلول ستونی معمول در شکل ۱ نشان

کاهش ذخایر پرعيار مواد معدنی با ترکیب کانی شناختی ساده، تولیدکنندگان آهن را مجبور به اکتشاف ذخایر اقتصادی با عیار پایین و با ترکیبات پیچیده و به دنبال آن بررسی مدارهای جدید برای تعیین موثرترین رویکرد فرآیندی کرده است.

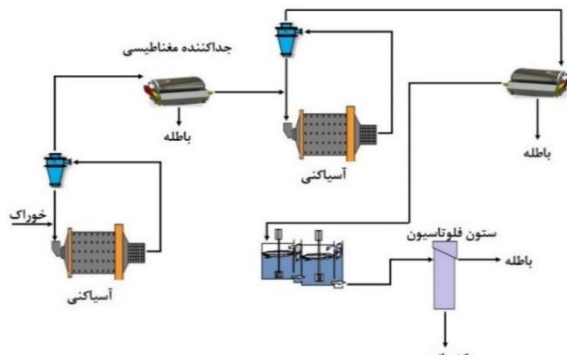
آهن پر مصرف‌ترین فلز در سطح جهان است و در حدود ۵ درصد پوسته زمین را تشکیل می‌دهد. بیش از ۹۸ درصد ذخایر معدنی آهن، برای تولید فولاد و ماقی آن‌ها در صنایع دیگر مانند شستشوی زغال و تولید سیمان استفاده می‌شود. بیشتر کانسنترهای آهن به شکل اکسیدی و سولفیدی و درصد کمتری به صورت کربناته وجود دارند [۱].

مشکل عمده تولیدکنندگان آهن در جهان حضور ناخالصی‌ها مانند سیلیکا، فسفر، آلومینا و سولفور در خوراک ورودی به واحدهای فرآوری برای تولید محصول با کیفیت است. کیفیت لازم کنسانتره آهن مورد استفاده در صنایع فولادسازی (احیای مستقیم) در جدول ۱ آورده شده است. امروزه پرعيارسازی کانه‌های آهن اکسیده به منظور تولید محصول قابل عرضه در بازارهای جهانی و همچنین استفاده در صنایع پایین‌دستی اهمیت زیادی دارد. انتخاب روش پرعيارسازی بر پایه ترکیبات کانی‌شناسی، ویژگی‌های فیزیکی، درجه آزادی کانه‌های آهن‌دار و باطله همراه است.

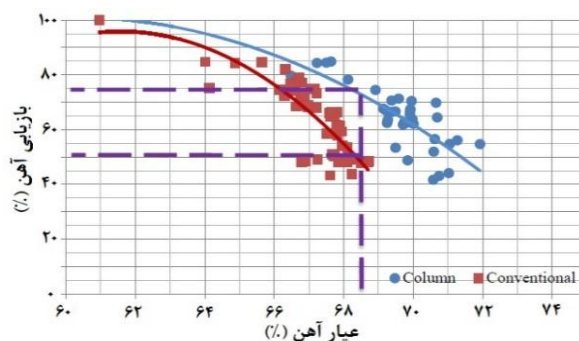
جدول ۱: کیفیت مورد نیاز کنسانتره آهن برای صنایع فولاد

ناخالصی	عيار (درصد)
سولفور	>۰,۱
سیلیس	>۳
آلومینا	>۲
فسفر	>۰,۰۲

با کاهش ذخایر پرعيار آهن (۶۰-۶۳ درصد) در جهان، روش‌های فرآوری برای تولید کنسانتره از مواد معدنی کم عیار، روند رو به رشدی دارد. جدایش ثقلی و مغناطیسی (SLon، PHGMS، WHIMS، LIMS) رایج‌ترین روش‌های فرآوری ذخایر اقتصادی آهن هستند. از نظر عملیاتی، کنسانتره آهن به دست آمده از جدایش ثقلی و مغناطیسی حتی بعداز چند مرحله جداسازی، به دلیل قفل‌شدگی کانه‌های باطله یا دنباله‌روی ذرات ریزدانه اغلب مقادیری ناخالصی دارد. نیاز بازار و صنایع تولید آهن و فولاد به کنسانترهای با عیار آهن بالا و حداقل ناخالصی‌های موجود، اهمیت استفاده



شکل ۲: مدار اصلاح شده با ستون فلوتاسیون برای پر عیار سازی مگنتیت



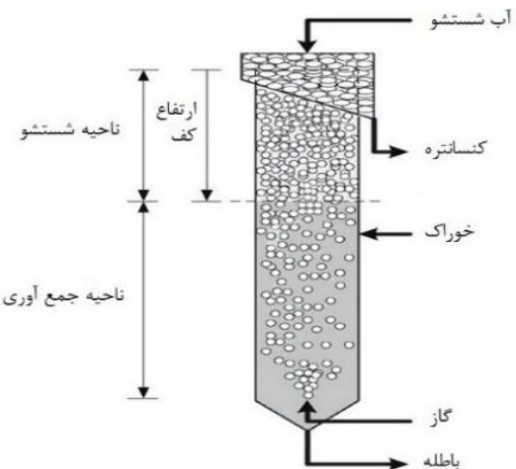
شکل ۳: مقایسه عملکرد ستون فلوتاسیون و سلول‌های فلوتاسیون مکانیکی

اکثر تحقیقات انجام شده در مورد به کارگیری ستون‌های فلوتاسیون در فرآوری کانه‌های آهن، برای حذف سیلیس بوده است و تاکنون بررسی نظاممند این روش برای پر عیار سازی ذرات ریزدانه آهن به منظور کاهش محتوی سولفور انجام نشده است. به دلیل اهمیت نقش فلوتاسیون در عملیات سولفورزدایی و همچنین مزایای بارز ستون‌های فلوتاسیون و کاربرد موفق‌تر این سلول‌ها در معادن بزرگ آهن جهان نسبت به سلول‌های مکانیکی، در تحقیق حاضر از ستون فلوتاسیون برای سولفورزدایی کنسانتره‌های جداکننده‌های مغناطیسی مجتمع سنگ آهن گل‌گهر استفاده می‌شود.

۲- فلوتاسیون پیریت

پیریت رایج‌ترین کانی سولفیدی در پوسته زمین است و عموماً به همراه دیگر کانی‌های سولفیدی و اکسیدی یافت می‌شود و به طور معمول کانی باطله به حساب می‌آید. ذرات ریز پیریت و پیروتیت در حضور کانی‌های آهن‌دار مانند مگنتیت، به دلیل تاثیر تجمعی ماتریس مگنتیت تا حدودی دارای خاصیت مغناطیسی شده و به طور کامل با جداکننده‌های مغناطیسی بازیابی نمی‌شوند [۱۲]. فلوتاسیون به عنوان

داده شده است. جریان خوراک از نقطه‌ای واقع در یک سوم بالای ستون وارد می‌شود و در جهت مخالف حباب‌های هوای تولید شده به وسیله حباب سازه، به سمت پایین انتقال می‌یابد. ذرات چسبیده شده به حباب‌های هوای به سمت بالای ستون حرکت می‌کنند و سرانجام به سطح مشترک پالپ و کف می‌رسند. موقعیت سطح مشترک می‌تواند توسط کاربر وسیله یک حلقه کنترل اتوماتیک با تغییر آهنگ جریان باطله تنظیم و در مقدار مطلوب ثابت نگه داشته شود [۱۱].



شکل ۱: ستون فلوتاسیون

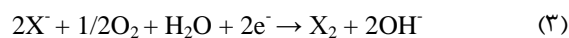
مرکز تحقیقات اریز، اخیراً یک واحد فلوتاسیون ۱۱۸۰ تن بر ساعت را به منظور کاهش محتوای سیلیس کنسانتره مگنتیت از ۹-۷ درصد به ۲/۲ درصد طراحی کرده است (شکل ۲). خوراک پس از آسیاکنی و طبقه‌بندی با $d_{80} = 150$ میکرون به جداکننده‌های مغناطیسی اولیه ارسال می‌شود. کنسانتره مگنتیتی پس از آسیاکنی مجدد با توزیع دانه‌بندی در حدود ۷۵ درصد عبوری از سرند ۴۵ میکرون به جداکننده‌های مغناطیسی ثانویه ارسال می‌شود که کنسانتره‌ای در حدود ۹-۷ درصد سیلیس به دست می‌آید. کنسانتره مگنتیتی با محلول نشاسته و آمین آماده‌سازی و سپس به فلوتاسیون ستونی خوراک‌دهی می‌شود، جایی که محتوی سیلیس تا کمتر از ۲/۲ کاهش می‌یابد [۹]. مقایسه نتایج آزمایش‌های فلوتاسیون ستونی و مکانیکی (مقیاس نیمه‌صنعتی) انجام شده در پروژه مگنتیت استرالیا برای حذف سیلیس در شکل ۳ به شکل مقایسه‌ای آورده شده است. نتایج نشان می‌دهد که در اغلب آزمایش‌ها روش فلوتاسیون ستونی عملکرد بهتری نسبت به سلول‌های مرسوم داشته است [۹].

گزارش دادند ولی هیچ جزییاتی را در مورد چگونگی و شرایط آزمایش‌ها ارایه نداده‌اند. آرویدسون و همکاران [۱۹] آزمایش‌هایی در مقیاس پیشاہنگ بر روی سه ذخیره آهن با ترکیبات کانی‌شناسی متفاوت در فللاند و سوئد برای تولید کنسانتره مگنتیت با عیار سولفور کمتر از ۰,۰۵ درصد ۹۸ درصد حذف پیریت انجام دادند. شرایط فلوتواسیون هر ذخیره بسته به درجه آزادی و نوع کانی‌های موجود متفاوت است. آهنگ بالای کلکتور و زمان ماند طولانی و درصد جامد بین ۴۵-۵۰ درصد و محدوده pH ۴ تا خنثی موردنیاز بود. سلطان محمدی و همکاران آزمایش‌های فلوتواسیون مکانیکی را برای حذف پیریت از کنسانتره مگنتیتی مجتمع سنگ آهن گل‌گهر با عیار گوگرد ۰,۵ درصد انجام دادند [۲۰, ۲۱]. در این تحقیق، تاثیر نوع و نرخ مواد شیمیایی، درصد جامد، pH، سرعت همزن، زمان کف‌گیری، زمان آماده‌سازی بر روی حذف پیریت بررسی شد. بهترین نتایج با استفاده از ۵۰ گرم بر تن کلکتور آمیل گزنتات پتابسیم (PAX)، ۶۰ گرم بر تن کفساز و ۲۰۰ گرم بر تن سیلیکات سدیم در pH برابر ۸ به دست آمد. نتایج نشان داد که پس از یک مرحله عملیات نرمه زدایی و دو مرحله فلوتواسیون در شرایط بهینه دستیابی به کنسانترهای با عیار آهن ۷۰ و سولفور ۰,۰۵ درصد مقدور است.

مجتمع سنگ آهن گل‌گهر با حدود ۱/۲ میلیارد تن ذخیره سنگ آهن (عمده‌ترین مگنتیت و هماتیت) و تولید سالیانه ۱۰ میلیون تن کنسانتره، یکی از بزرگ‌ترین معادن و در عین حال تولیدکنندگان سنگ آهن موردنیاز صنایع فولاد ایران محسوب می‌شود. عمده‌ترین مشکل این مجتمع وجود سولفور در ماده معدنی اولیه است. به طور کلی اکثر آنومالی‌های این معدن دارای عیار سولفور بیشتر از ۲ درصد است، در صورتی که حد مجاز سولفور برای تولید فولاد ۰,۱ درصد است. پیریت و پیروتیت در زمان قرارگیری در یک میدان مغناطیسی در مجاورت کانی فرومینیتی مانند مگنتیت، به طور کامل حذف نمی‌شوند. به همین دلیل کنسانتره‌های حاصل از جدایش مغناطیسی، حاوی ۰,۴ تا ۰,۷ درصد سولفور است.

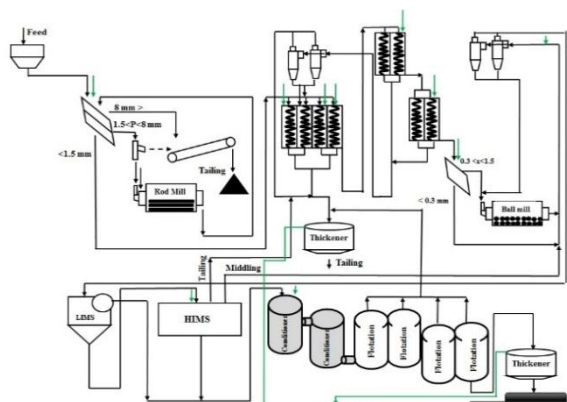
هدف از این تحقیق، کاهش میزان سولفور کنسانتره جداکننده‌های مغناطیسی خط فرآوری باطله‌های خشک (DTP) این مجتمع از حدود ۰,۵ درصد به کمتر از ۰,۱ درصد با استفاده از فلوتواسیون ستونی در مقیاس پیشاہنگ است.

روشی برتر برای حذف ذرات پیریت از کنسانتره جداکننده‌های مغناطیسی استفاده می‌شود [۱۴-۱۶]. جدایش موثر این دو کانی سبب کاهش عیار سولفور در کنسانتره نهایی می‌شود. وجود سولفور در سنگ آهن مشکلاتی را در فرآیند تولید آهن و فولاد به وجود می‌آورد. از جمله این مشکلات می‌توان به افزایش میزان سرباره در کوره‌های ذوب، کاهش مرغوبیت و استحکام آهن و فولاد، تولید گاز SO_2 و تشکیل اسید سولفوریک اشاره کرد که دو مورد اخیر موجب آلودگی محیط زیست و خوردگی جداره‌های کوره‌های ذوب می‌شود. روش مرسوم در فلوتواسیون پیریت در کانه‌های سولفیدی، بازداشت پیریت در محیط‌های قلیایی (pH بالای ۱۱,۵) است. در حضور کانی‌های اکسیدی آهن، از فلوتواسیون معکوس در حضور گزنتات استفاده می‌شود. مکانیزم جذب گزنتات روی سطح پیریت به طور گستردۀ توسط محققان زیادی بررسی شده است. به طور کلی این تئوری مورد قبول واقع شده است که تنها گونه مسؤول فلوتواسیون پیریت مستقل از شرایط سطح پیریت و محلول) دیگرانتوژن است [۱۵, ۱۶]. دیگرانتوژن به وسیله اکسیداسیون آنودیک یون گزنتات روی سطح پیریت همراه با احیای کاتوکلیک اکسیژن جذب شده تشکیل می‌شود [۱۷]:



این واکنش‌ها تا pH ۱۱ انجام‌پذیر است. در pH های بالاتر دیگرانتوژن به یون گزنتات تجزیه می‌شود. همچنین در pH های بالای ۱۰,۵ تشکیل $\text{Fe}(\text{OH})_3$ بر روی سطح پیریت منجر به کاهش جذب کلکتور و بازداشت پیریت می‌شود [۸]. به طور کلی اعتقاد بر این است که یون‌های گزنتات به دیگرانتوژن از طریق فرآیند الکتروشیمیایی (پیریت به عنوان کاتالیزور) اکسید می‌شود.

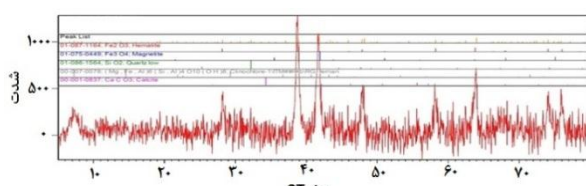
امروزه کاربرد فرآیند فلوتواسیون معکوس در عملیات صنعتی پرعيارسازی آهن به منظور حذف ناخالصی‌ها به خوبی اثبات شده است. تاکنون اطلاعات انتشار یافته بسیار کمی در مورد فرآیند فلوتواسیون پیریت برای دستیابی به کنسانتره مگنتیت با عیار سولفور کمتر از ۰,۱ درصد ارایه شده است. دیوید و همکاران [۱۸]، کنسانتره مگنتیت با عیار سولفور کمتر از ۰,۱ درصد را بعد از عملیات فلوتواسیون



شکل ۴: شمای کلی مدار DTP

مگنتیت و گوگرددزایی مجتمع سنگ‌آهن گل‌گهر در طی ۴ ماه و در ۱۰ نوبت نمونه‌برداری شد. نتایج آنالیز دانه‌بندی نمونه معرف نشان داد که به طور متوسط در حدود ۸۰ درصد وزنی از نمونه را ذراتی با اندازه کوچکتر از ۹۵ میکرون تشکیل می‌دهند.

آنالیز شیمیایی نمونه خوراک در جدول ۲ آورده شده است. مطالعات پراش پرتو ایکس^۵ با استفاده از دستگاه مدل PW1800 ساخت کارخانه Philips انجام شد. نتایج نشان داد که هماتیت و مگنتیت کانی اصلی و کلسیت، کوارتز و کلینوکلر در نمونه مشاهده می‌شوند (شکل ۵).



شکل ۵: آنالیز XRD نمونه مورد مطالعه

جدول ۲: مشخصات عیاری خوراک نمونه‌برداری شده با استفاده از روش شیمیی تر

P (%)	S (%)	FeO (%)	Fe (%)
۰,۱۳	۰,۴۷	۱,۴۸	۶۳,۳۳

در شکل ۶ توزیع آهن و گوگرد در طبقات مختلف ابعادی نشان داده شده است. ذرات بالای ۱۸۰ میکرون که میزان بسیار کمی از نمونه را تشکیل می‌دهد، بالاترین عیار گوگرد (۱,۲۲) را دارد که با کاهش اندازه ذرات، این میزان کاهش می‌یابد. بالاترین توزیع آهن و گوگرد در محدوده ۷۵-۴۵ میکرون مشاهده می‌شود. بالا بودن توزیع آهن و گوگرد در

۳- مدار فرآوری مورد مطالعه

خط فرآوری باطله‌های خشک^۶ مجتمع سنگ‌آهن گل‌گهر، باطله بخش خشک کارخانه مگنتیت (با ذخیره احتمالی ۲۵ میلیون تن که از زمان شروع تولید در محل مشخصی انباسته شده‌اند) را فرآوری و هماتیت (و باقیمانده مگنتیت) آن را استحصال می‌کند.

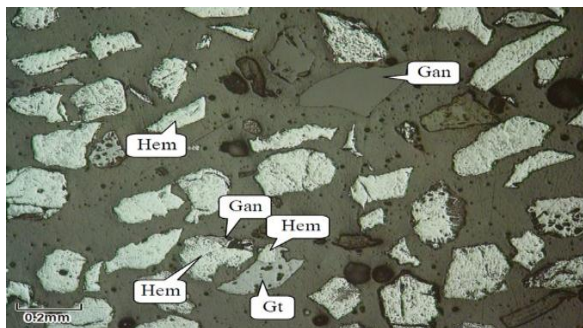
در مدار DTP، خوراک با نوار نقاله به سیلوی ۲۰۰۰ تنی انتقال می‌یابد. مواد در اولین مرحله وارد سرند دو طبقه با اندازه دهانه‌های ۸ و ۱/۵ میلی‌متر می‌شوند. ذرات درشت‌تر از ۸ میلی‌متر از مدار خارج و ذرات با اندازه ۸-۱/۵ میلی‌متر در یک مدار بسته با آسیای میله‌ای خرد می‌شوند. تهربیز سرند وارد بخش مارپیچ رافر می‌شود. باطله این بخش باطله نهایی تلقی می‌شود و وارد تیکنر باطله شده و کنسانتره آن‌ها وارد مارپیچ‌های کلینر اولیه و ثانویه می‌شود. باطله این دو بخش در یک مدار بسته با مارپیچ رافر، وارد هیدروسیکلون می‌شود. سرربیز هیدروسیکلون که محتوای آهن بسیار پایین دارد به تیکنر باطله انتقال می‌یابد. کنسانتره مرحله کلینر ثانویه وارد سرند با دهانه ۳۰۰ میکرون می‌شود. ذرات بزرگ‌تر از ۳۰۰ میکرون برای خردایش مجدد به آسیای گلوله‌ای ارسال می‌شود. خروجی آسیا با تهربیز سرند مخلوط شده و به سیکلونی که در مداری بسته با آسیای گلوله‌ای قرار دارد منتقل می‌شود. سرربیز سیکلون با دانه‌بندی ریزتر از ۱۰۰ میکرون، وارد جداکننده مغناطیسی شدت پایین^۷ می‌شود. باطله جداکننده LIMS، وارد جداکننده مغناطیسی شدت بالا^۸ می‌شود. باطله HIMS به عنوان باطله نهایی وارد تیکنر باطله و محصول میانی آن به سیکلون انتقال می‌یابد. کنسانتره دو جداکننده مغناطیسی بعد از اختلاط به منظور کاهش میزان سولفور وارد مرحله فلوتاسیون مکانیکی (RCS15) می‌شود. در انتهای کنسانتره نهایی فرآیند بعد از عملیات فلوتاسیون وارد تیکنر کنسانتره می‌شود. در عملیات فلوتاسیون، از آمیل گزنتات پتابسیم به عنوان کلکتور و از MIBC نیز به عنوان کفساز استفاده می‌شود. مدار پرعیار کنی خط DTP در شکل ۴ نشان داده شده است.

۴- مواد و روش انجام آزمایش‌ها

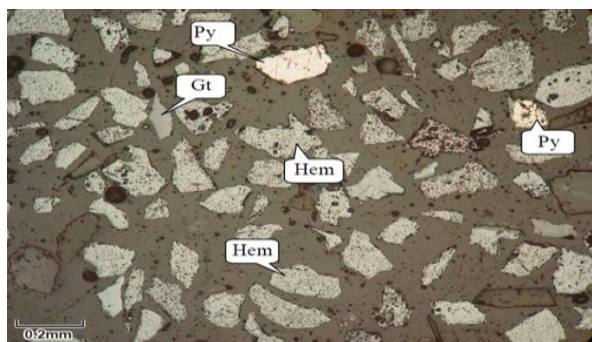
۱-۴- ویژگی‌های خوراک ورودی

برای انجام آزمایش‌های مربوط در این تحقیق از خوراک ورودی به سلول‌های فلوتاسیون خط DTP کارخانه هماتیت،

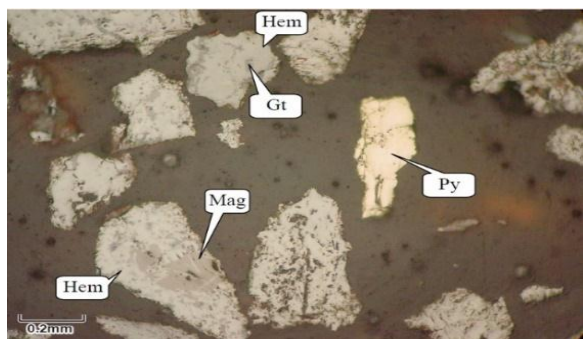
دارای فراوانی ۱ تا ۲ درصد است و درگیری کمی با بلورهای حاوی آهن در این نمونه نشان می‌دهد (شکل ۹-۷).



شکل ۷: درگیری هماتیت با گانگ در حاشیه‌ها (۱۸۰- و ۱۵۰+ میکرون)



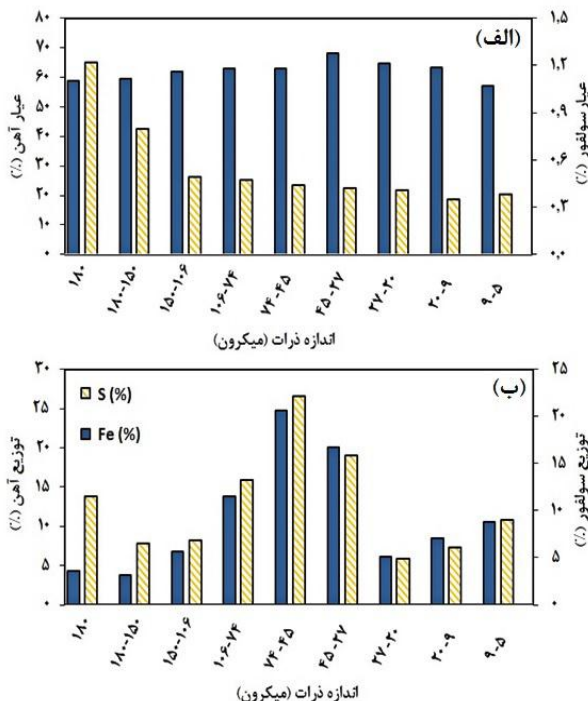
شکل ۸: بیشتر بلورهای هماتیت و پیریت به صورت آزاد (۱۵۰- و ۱۰۶+ میکرون)



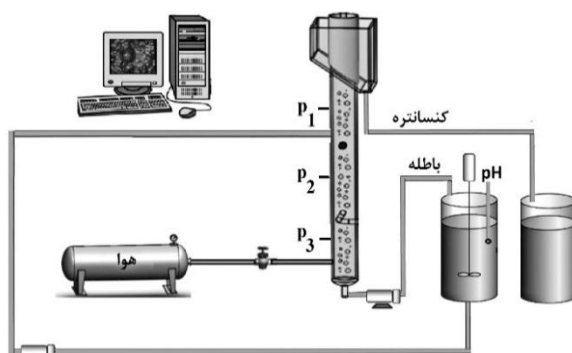
شکل ۹: آزادی پیریت، اکسیداسیون بلور مگنتیت به هماتیت و اکسیداسیون هماتیت به گوتیت (۷۵- و ۴۵+ میکرون)

برای مطالعات درجه آزادی، مقاطع صیقلی از نمونه‌های طبقه‌بندی شده (بر حسب میکرون) در ابعاد (۱۸۰+، ۱۸۰-، ۱۵۰+، ۱۵۰-، ۱۰۶+، ۱۰۶-) تهیه شد و با میکروسکوپ نوری پلاریزان با نور انعکاسی مورد مطالعه قرار گرفت. نتایج مطالعات درجه آزادی در جدول ۳ آورده شده است.

این محدوده ابعادی ناشی از بالا بودن درصد وزنی این بخش است. نکته قابل توجه بالا بودن توزیع گوگرد در محدوده ۱۸۰ میکرون است که دلیل آن عیار بالای این طبقه نسبت به طبقات دیگر است.



و مانیتورینگ به یک پردازشگر مخابره می‌شود و داده‌های واقعی به یک کنترل کننده فرستاده می‌شوند. pH پالپ در مخزن خوراک ورودی در طول آزمایش به طور پیوسته اندازه‌گیری شد. در عملیات فلوتاسیون معکوس از آمیل گزنتات پتابسیم به عنوان کلکتور و از MIBC به عنوان کف ساز و از اسید سولفوریک و NaOH برای تنظیم pH استفاده شد. پس از تنظیم pH و آماده‌سازی خوراک با مواد شیمیایی (۴ دقیقه کلکتور و ۳ دقیقه کفساز)، پالپ به ستون خوراک‌دهی می‌شود و در یک مدار بسته تا رسیدن به شرایط پایا کار می‌کند. شمای کلی از روش انجام آزمایش در شکل ۱۱ نشان داده شده است.



شکل ۱۱: آزمایش فلوتاسیون ستونی

در این تحقیق از روش طراحی آزمایش D-Optimal برای اجرای آزمایش‌ها به منظور بررسی تاثیر متغیرهای عملیاتی بر حذف گوگرد استفاده شد. بدین ترتیب تعداد ۲۶ آزمایش طراحی شد. عوامل و سطوح به کار رفته در آزمایش‌های فلوتاسیون در جدول ۴ آورده شده است. به منظور فهم بهتر تاثیر کلکتور و کف‌ساز، چهار سطح مختلف از میزان مصرف آن بررسی شد.

جدول ۴: مقادیر سطوح انتخاب شده برای آزمایش‌ها

	سطح ۴	سطح ۳	سطح ۲	سطح ۱	شاخص	عامل
۲۰۰	۱۶۰	۱۱۰	۸۰	A	میزان کلکتور (g/t)	
۲۴۰	۱۸۰	۱۴۰	۱۰۰	B	میزان کف ساز (g/t)	
-	۵۰	۳۵	۲۰	C	ارتفاع کف (cm)	
-	۱,۸	۱,۶	۱,۴	D	سرعت ظاهری هوای (cm/s)	
-	۳۰	۲۳	۱۵	E	درصد جامد (%)	
-	۷	۴,۵	۲,۵	F	pH	

جدول ۳: آنالیز درجه آزادی نمونه مورد مطالعه

پیریت	هماتیت \pm گوئیت \pm مگنتیت	اندازه (میکرون)
۶۵	۷۰	(+۱۸۰)
۷۵	۸۰	(+۱۵۰ - ۱۸۰)
۸۵	۹۰	(+۱۰۶ - ۱۵۰)
۹۳	۹۵	(+۷۵ - ۱۰۶)
۱۰۰	۱۰۰	(-۷۵)

۲-۴- ستون فلوتاسیون

آزمایش‌ها در سلول ستونی از جنس پلاکسی گلاس با ارتفاع ۴۰۰ و قطر ۱۰ سانتی‌متر انجام شد (شکل ۱۰). برای تامین بار اولیه از یک مخزن ۷۵ لیتری مجهز به یک همزن استفاده شد تا ضمن آماده‌سازی از تهنشینی مواد جلوگیری نماید. پالپ آماده شده با یک پمپ پریستالتیک به درون سلول پمپاژ می‌شود. در این ستون برای اندازه‌گیری ماندگی گاز و ارتفاع کف از سه فشارسنج استفاده شده است، به طوری که دو حسگر در ناحیه پالپ (ناحیه جمع‌آوری) و یک حسگر در ناحیه کف (ناحیه شستشو) قرار دارد. در سیستم کنترل سلول ستونی، تابع کنترل سطح دور موتور پمپ باطله را با استفاده از تعدادی شرط و بر اساس موقعیت سطح مشترک نسبت به مقدار مطلوب، تغییر می‌دهد. برای اندازه‌گیری و تنظیم آهنگ جریان هوای آب شستشو از فلومتر استفاده می‌شود. حباب ساز مورد استفاده از نوع داخلی و مخلخل (قطر منافذ ۵۰ تا ۱۰۰ میکرون) با قطر ۳ cm و طول ۱۴ cm بود.



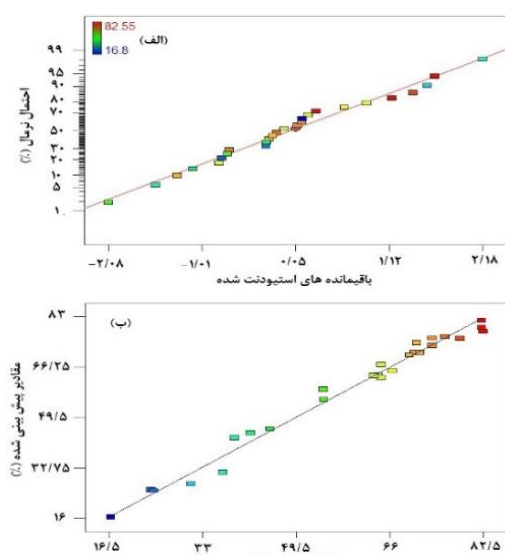
شکل ۱۰: تجهیزات ستون فلوتاسیون مورد استفاده

داده‌های بدست آمده از حسگرها برای انجام کالیبراسیون

جدول ۵: مقادیر F و P برای متغیرهای اصلی پاسخ ها

میانگین مرتعات	P	F	عامل
۲۹۶,۲	۰,۰۰۰۳	۵۳,۳۷	A
۱۶,۵۲	۰,۱۴	۲,۹۸	B
۹۰,۶	۰,۰۱	۱۶,۳۳	C
۴۸,۶	۰,۰۲۳	۸,۷۶	D
۲۱,۳۵	۰,۱	۳,۸۵	E
۲۱۳۰	<۰,۰۰۰۱	۳۸۳	F
۲۸,۰۷	۰,۰۰۴۷	۵,۰۶	AF
۴۹۲,۷	<۰,۰۰۰۱	۸۸,۸	مدل

CV= 4.03%, R²= 0.98, Adj R²= 0.97, B, E= NS



شکل ۱۲: (الف) نمودار احتمال نرمال باقیماندها و (ب) نمودار مقادیر پیش‌بینی شده در مقابل مقادیر واقعی

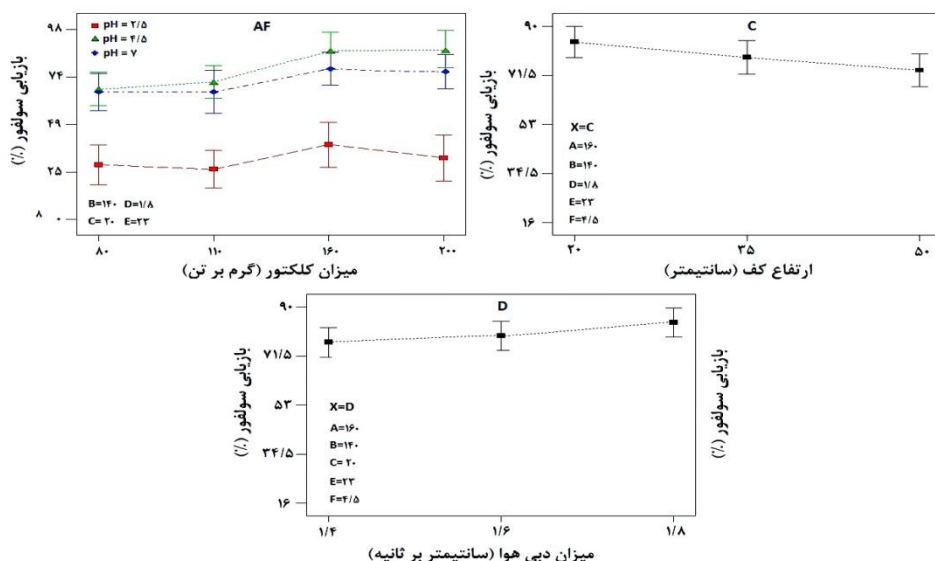
همچنین به منظور مقایسه عملکرد ستون فلوتواسیون با سلول‌های مکانیکی مرسوم، آزمایش‌های در شرایط بهینه با سلول آزمایشگاهی دونر انجام گرفت.

۵- نتایج و بحث

۱- تأثیر متغیرها

تحلیل واریانس (ANOVA) ابزار آماری استاندارد برای تفسیر داده‌های آزمایشگاهی و ارزیابی معناداری تأثیر عوامل مختلف بر فرآیند است. در این تحقیق از نرم افزار DX7 برای تحلیل نتایج آزمایش‌ها استفاده شده است. تأثیر متغیر، معنادار است اگر سطح معناداری آن بزرگتر از ۹۵ درصد (مقادیر P کوچکتر از ۰,۰۵) باشد.

بر اساس آنالیز واریانس تست فیشر، مقادیر P کوچکتر از ۰,۰۵ نشان می‌دهد که مدل برای حذف پیریت معنادار است (جدول ۵). نمودار احتمال نرمال باقیماندها و نمودار مقادیر پیش‌بینی شده در مقابل مقادیر واقعی در شکل ۱۲ آورده شده‌اند. در این شکل باقیماندها بر روی یک خط قرار دارند که نشان دهنده توزیع نرمال خطاهای است. این نکته بیان‌گر این است که مدل پیشنهادی برازش مناسبی دارد. متغیرهای A, C, D و F، تأثیر معناداری بر حذف پیریت دارند. ترتیب تأثیر آن‌ها به صورت F > A > C > D است. در میان تأثیر متقابل میان متغیرها، AF تأثیر معناداری بر حذف گوگرد دارد. شکل ۱۳ تأثیر عوامل مهم عملیاتی در فلوتواسیون ستونی را بر حذف پیریت نشان می‌دهد.



شکل ۱۳: تأثیر پارامترهای فرآیند بر حذف پیریت

در محدوده مطالعه شده با استفاده از نرم افزار DX7 به دست آورده شد. جدول ۶ سطوح بهینه هر متغیر را برای دستیابی به بالاترین میزان حذف پیریت با هدف حداقل کردن عیار گوگرد در کنسانتره (با در نظر گرفتن پارامترها در محدوده در نظر گرفته شده) را نشان می‌دهد. بر اساس پیش‌بینی نرم افزار، بازیابی پیریت معادل ۸۴ درصد در شرایط بهینه قابل دستیابی است. شرایط بهینه به دست آمده در این تحقیق شامل ۱۶۰ گرم بر تن کلکتور، ۱۸۰ گرم بر تن کف ساز، ارتفاع کف ۲۰ سانتی‌متر، سرعت ظاهری هوا ۱/۸ سانتی‌متر بر ثانیه، درصد جامد ۳۰ و pH برابر ۴/۵ است. به منظور تایید پیش‌بینی مدل، دو آزمایش شاهد با شرایط بهینه تعیین شده، انجام شد که نتایج آن در جدول ۷ آورده شده است. نتایج بهینه‌سازی به دست آمده با استفاده از روش D-Optimal، با انجام آزمایش‌های اعتبارسنجی تایید شد. در واقع آزمایش‌ها نشان داد که در شرایط بهینه، دستیابی به کنسانتره نهایی با عیار گوگرد کمتر از ۰/۰۸ درصد، برای خط DTP با بازیابی آهن بالای ۹۹ درصد ممکن است.

جدول ۶: سطوح بهینه پارامترها

مطلوبیت	بازیابی (%)	F	E	D	C	B	A	پارامتر
۰/۹	۸۴	۴/۵	۳۰	۱/۸	۲۰	۱۸۰	۱۶۰	مقادیر

جدول ۷: نتایج آزمایش‌های اعتبارسنجی با سطوح بهینه

عيار سولفور کنسانتره (%)	حذف پیریت (%)	آزمایش
۰/۰۸	۸۲/۹	۱
۰/۰۸۴	۸۲/۸۶	۲

۵-۳- مقایسه عملکرد ستون فلوتاسیون و سلول مکانیکی

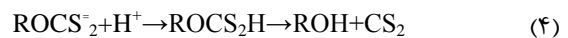
مقایسه نتایج آزمایش‌های فلوتاسیون ستونی و مکانیکی (مقیاس آزمایشگاهی) برای حذف پیریت در شرایط بهینه در جدول ۸ آورده شده است.

جدول ۸: مقایسه نتایج سلول ستونی با سلول مکانیکی

سلول مکانیکی	ستون فلوتاسیون	معیار
۰/۱	۰/۰۸۴	عيار S در کنسانتره (%)
۳/۰۷	۱/۲	درصد وزنی باطله نسبت به خوارک (%)
۵۱/۳	۳۸/۲	عيار Fe در باطله (%)
۷۸	۸۱/۴	کارآیی جدایش (%)

با افزایش میزان کلکتور میزان حذف پیریت افزایش می‌یابد که آن را می‌توان به افزایش میزان آبگریزی ذرات پیریت نسبت داد. عملکرد متالورژیکی هر سیستم فلوتاسیون به طور قابل ملاحظه‌ای به سرعت ظاهری هوا و ارتفاع کف وابسته است. همچنان که در شکل ۱۳ نشان داده شده است با افزایش سرعت ظاهری هوا، بازیابی پیریت به دلیل افزایش ماندگی گاز و همچنین افزایش در برخورد ذره - حباب افزایش می‌یابد. همچنین افزایش سرعت ظاهری هوا سبب کاهش زمان ماند ذرات در فاز کف شده و بازیابی افزایش می‌یابد ولی در مقدادر بالاتر از ۱/۸ سانتی‌متر بر ثانیه به دلیل افزایش در ادغام حباب‌ها (تشکیل حباب‌های بزرگتر) روند کاهشی به خود می‌گیرد. این مقدار بهینه برای سرعت ظاهری گاز در فلوتاسیون ستونی توسط محققان دیگر مشاهده شده است.

با کاهش ارتفاع کف، میزان حذف پیریت افزایش می‌یابد که می‌تواند به کاهش برگشت ذرات از فاز کف به فاز پالپ و همچنین کاهش زمان ماند ذرات در ناحیه کف مربوط باشد. پیشترین و کمترین میزان حذف پیریت به ترتیب در pH برابر ۴/۵ و ۲/۵ به دست آمد. بازداشت پیریت در pH کمتر از ۳ به تجزیه گزنتات به اسید زانتیک و سپس به دی سولفید کربن و الکل مربوط می‌شود.



وجود یون‌های فریک ناشی از ذرات کانی‌های اکسیدی آهن به شدت احتمال این تجزیه را افزایش می‌دهد. هرچند در بسیاری از مقالات به این تجزیه اشاره نشده است. به دلیل پایداری کم هیدروکسیدهای فریک در محیط‌های اسیدی متوسط این یون‌ها در محلول آزاد شده و تبدیل گزنتات به دیگرانوژن را راحت می‌کنند، بنابراین پیریت در pH حدود ۴/۵ به خوبی شناور می‌شود [۲۲].

نکته قابل توجه، اختلاف اندازه میزان حذف گوگرد بین pH های ۴/۵ و ۷ در آهنگ‌های پایین کلکتور است که با افزایش میزان کلکتور این اختلاف افزایش می‌یابد. این عمل را می‌توان به تجزیه بخشی از کلکتور در pH برابر ۴/۵ نسبت داد که در آهنگ‌های کلکتور پایین برجسته‌تر است.

۵-۲- بهینه سازی فرآیند

سطح بهینه متغیرها، برای حداکثر کردن بازیابی پیریت

کاهش زمان ماند ذرات در فاز کف شده و بازیابی افزایش می‌یابد.

۴- شرایط بهینه به دست آمده در این تحقیق شامل ۱۶۰ گرم بر تن کلکتور، ۱۸۰ گرم بر تن کفساز، ارتفاع کف ۲۰ سانتی‌متر، سرعت ظاهری هوا ۱/۸ سانتی‌متر بر ثانیه، درصد جامد ۳۰ و pH برابر ۴/۵ بود.

۵- مطالعه حاضر نشان داد که فلوتاسیون ستونی عملکرد متالورژیکی بالاتری را در مقایسه با ماشین‌های فلوتاسیون مکانیکی برای تولید کنسانتره آهن با محتوی گوگرد پایین و بازیابی بالا دارد.

۷- سپاس‌گزاری

نویسنندگان بر خود لازم می‌دانند از شرکت معدنی و صنعتی گل‌گهر و پژوهشکده سنگ‌آهن و فولاد به خاطر همکاری صمیمانه، تشكیر و سپاس‌گزاری نمایند.

۸- مراجع

- [1] Yellishetty, M., Ranjith, P. G., and Tharumarajah A. (2010). "Iron ore and steel production trends and material flows in the world: Is this really sustainable?". *Resources, Conservation and Recycling*, 54: 1084–1094.
- [2] Araujo, A. C., Viana, P. R. M., and Peres, A. E. C. (2005). "Reagents in iron ores flotation". *Minerals Engineering*, 18: 219–224.
- [3] Shrimali, K., and Miller, J. D. (2016). "Polysaccharide depressants for the reverse flotation of iron ore". *Transactions of The Indian Institute of Metals*, 69(1): 83–95.
- [4] Rath, S. S., Sahoo, H., Das, S. K., Das, B., and Mishra B. K. (2014). "Influence of band thickness of banded hematite quartzite (BHQ) ore in flotation". *International Journal of Mineral Processing*, 130: 48–55.
- [5] Filippov, L. O., Severov, V. V., and Filippova, I. V. (2014). "An overview of the beneficiation of iron ores via reverse cationic flotation". *International Journal of Mineral Processing*, 127: 62–69.
- [6] Xiong, D., Liu, S., Chen, J. (1998). "New technology of pulsating high gradient magnetic separation". *International Journal of Mineral Processing*, 54: 111–127.
- [7] Zhao, C., Yahui, Zh., and Yongdan, C. (2012). "Reverse flotation of quartz from magnetite ore with modified sodium oleate", *Mineral Processing and Extractive Metallurgy Review*, 34(5): 320-330.

نتایج نشان می‌دهد که میزان هدرروی آهن با ارزش در سلول ستونی به طور چشمگیری کمتر از سلول مکانیکی است. همچنین ستون فلوتاسیون کارایی جدایش بسیار بهتری نسبت به سلول‌های مکانیکی دارد.

۶- نتیجه‌گیری

وجود پیریت در کنسانتره جداکننده‌های مغناطیسی یکی از مشکلات عمدۀ واحدهای پایین دستی فرآوری آهن است. امروزه بسیاری از تولیدکنندگان آهن جهان از ستون‌های فلوتاسیون به عنوان جایگزین مناسب سلول‌های فلوتاسیون مکانیکی برای کاهش عناصر مزاحم در کنسانتره جداکننده‌های مغناطیسی بهره می‌برند. در این تحقیق به دلیل مزایای متالورژیکی قابل توجه ستون‌های فلوتاسیون و کاربرد موثر آن‌ها در واحدهای فرآوری معادن بزرگ آهن در جهان، از این سلول‌ها برای گوگردزدایی از کنسانتره‌های جداکننده‌های مغناطیسی خط فرآوری باطله‌های خشک مجتمع سنگ‌آهن گل‌گهر (DTP) در مقیاس پیشاهنگ استفاده شد. تاثیر عوامل عملیاتی مهم، مانند سرعت ظاهری گاز، ارتفاع کف، میزان کلکتور و کفساز، درصد جامد و pH برای دستیابی به بالاترین میزان حذف پیریت در قالب ۲۶ آزمایش مورد بررسی قرار گرفت. نتایج آزمایش‌های به دست آمده در این مطالعه به شرح زیر است:

۱- تولید محصولی با عیار گوگرد کمتر از ۰/۱ درصد با حداکثر بازیابی آهن، از کنسانتره جداکننده‌های مغناطیسی خط DTP (با عیار گوگرد ۰/۵ درصد) با به کارگیری یک مرحله فلوتاسیون ستونی مقدور است.

۲- pH و میزان کلکتور بیشترین تاثیر را در میزان حذف پیریت دارند. با افزایش میزان کلکتور میزان حذف پیریت افزایش می‌یابد که آن را می‌توان به افزایش میزان آب‌گریزی ذرات پیریت نسبت داد. بیشترین و کمترین میزان حذف پیریت به ترتیب در pH برابر ۴/۵ و ۲/۵ به دست آمد. بازداشت پیریت در pH کمتر از ۳ به تجزیه اسید زانتیک به دی سولفید کربن و الكل مربوط می‌شود.

۳- عملکرد متالورژیکی سیستم فلوتاسیون ستونی به طور قابل ملاحظه‌ای به سرعت ظاهری هوا و ارتفاع کف وابسته است. در این مطالعه با کاهش ارتفاع کف میزان حذف پیریت افزایش می‌یابد که می‌تواند به کاهش برگشت ذرات از فاز کف به فاز پالپ و همچنین کاهش زمان ماند ذرات در ناحیه کف نسبت داده شود. افزایش سرعت ظاهری هوا سبب

- (1986). "The role of dixanthogen in xanthate flotation of pyrite". Transactions of the Society of Mining Engineers of American Institute of Mining, Metallurgical and Petroleum Engineers (AIME), 241: 148-156.
- [18] David, D., Larson, M., and Li, M. (2011). "Optimising Western Australia magnetite circuit design". Proceedings of the Metallurgical Plant Design and Operating Strategies, Perth.
- [19] Arvidson, B., Klemetti, M., Knuutinen, T., Kuusisto, M., Man, Y. T., and Hughes-Narborough, C. (2013). "Flotation of pyrrhotite to produce magnetite concentrates with a sulphur level below 0.05% w/w". Minerals Engineering, 50-51: 4-12.
- [20] Soltanmohammadi, V., Noaparast, M., Kohsari, A. H., and Zamani, F. (2011). "Influence of flotation parameters on decreasing sulfur and phosphorus contents in the Gol-E-Gohar iron ore concentrate". Physicochemical Problems of Mineral Processing, 46: 173-190.
- [21] Soltanmohammadi, V., Noaparast, M., Kohsari, A. H., and Zamani, F. (2009). "Determination of optimum conditions to remove sulfur and phosphorus from Gol-E-Gohar iron ore concentrate". Iranian Journal of Science & Technology, Transaction B, Engineering, 33(B3): 267-278.
- [22] Jiang, C. L., Wang, X. H., Parekh, B. K., and Leonard, J. W. (1998). "The surface and solution chemistry of pyrite flotation with xanthate in the presence of iron ions". Colloids and Surfaces A: Physicochemical and Engineering Aspects, 136(1-2): 51-62.
-
- [†] Eriez
- [‡] Dry Tailing Process
- [¶] LIMS
- [¤] HIMS
- [¤] XRD
- [8] Bulatovic, S. M. (2007). "Handbook of flotation reagents: chemistry, theory and practice". Amsterdam: Elsevier, pp. 22.
- [9] Thanasekaran, H., Kohmuensch, J., and Christodoulou, L. (2013). "Column flotation of iron ore - status and advances". Iron Ore, Western Australia, 1-14.
- [10] Viana, P. R. M., Silva, J. P., Rabelo, P. J. B., Coelho, A. G., and Silva, V. C. (1991). "Column flotation for the expansion of the flotation circuit at samarco mineracao". Column 91, International Conference on Column Flotation, June 2-6, Sudbury, 89-95.
- [11] Nakhaei, F., Mosavi, M. R., Sam, A., Vaghei, Y. (2012). "Recovery and grade accurate prediction of pilot plant flotation column concentrate: neural network and statistical techniques". International Journal of Mineral Processing, 110-111: 140-154.
- [12] Cline, W., Connolly, L., and Grandy, G. (1974). "Marcona pyrrhotite flotation from magnetite". Society for Mining, Metallurgy & Exploration (SME) Fall Meeting, September, Acapulco, Mexico, 22-25.
- [13] Chang, C. S., Cooke, S. R. B., and Iwasaki, I. (1954). "Flotation characteristics of pyrrhotite with xanthate". Transactions of the Society of Mining Engineers of American Institute of Mining, Metallurgical and Petroleum Engineers (AIME), 199: 209-217.
- [14] Iwasaki, I. (1999). "Iron ore flotation: Historical perspective and future prospects". Proceedings of the Symposium, Advances in Flotation Technology, Society for Mining, Metallurgy & Exploration (SME) Annual Meeting, March 1-3, Denver, CO, pp. 231.
- [15] Woods, R. (1988). "Flotation of sulfide minerals". In: P. Somasundaran and B. Moudgil (Editors), Reagents in Mineral Technology. Marcel Dekker, New York, NY, 39-77.
- [16] Finkelstein, N. P. (1997). "The activation of sulphide minerals for flotation: a review". International Journal of Mineral Processing, 52: 81-120.
- [17] Fuerstenau, M. C., Kuhn, M. C. and Elgillani, D. A.